

## ВЛИЯНИЕ МЕЖДЫРОЧНЫХ СТОЛКНОВЕНИЙ НА РАЗОГРЕВ И ПОГЛОЩЕНИЕ СВЕТА ТЕПЛЫМИ ДЫРКАМИ В *p*-Ge

Дедулевич С., Канцлерис Ж., Матулис А.

Рассчитаны функции распределения носителей тока в слабо греющем электрическом поле и концентрационная зависимость коэффициента поглощения света с длиной волны 10.6 мкм в *p*-Ge. Электрон-электронное взаимодействие учтено итерационным методом в двухчастичной процедуре Монте-Карло для теплых электронов. Получено хорошее совпадение расчетной зависимости коэффициента поглощения с экспериментальными данными.

1. Электрон-электронное (*e-e*) рассеяние не меняет ни суммарного импульса электронной системы, ни ее суммарной энергии, и поэтому оно не должно было бы влиять ни на омическую проводимость, ни на разогрев электронов в электрическом поле. Однако *e-e*-рассеяние перераспределяет электроны в импульсном пространстве и тем самым может изменять эффективность других механизмов рассеяния и таким образом влиять на все свойства полупроводника. Например, в случае низкотемпературного рассеяния оптическими фононами *e-e*-рассеяние, как было впервые указано в [1], открывает новый канал релаксации энергии и существенно изменяет форму функции распределения горячих носителей заряда. Так как с ростом средней энергии носителей заряда эффективность *e-e*-рассеяния уменьшается, то экспериментальные исследования данного эффекта проводились в основном в слабогреющем электрическом поле [2-5], причем следует отметить особенно работы [3, 5], где путем измерения коэффициента поглощения света фактически определялись функция распределения носителей заряда и ее зависимость от *e-e*-рассеяния.

Расчеты параметров, определенных из экспериментальных данных, как правило, выполнялись традиционным методом Монте-Карло [6-8]. Но в слабогреющих электрических полях сходимость указанного метода неудовлетворительна, и получить количественного совпадения между экспериментальными и расчетными данными не удавалось. К тому же в расчетах обычно основное внимание уделялось определению времени релаксации энергии  $\tau_e$ , которое в экспериментах непосредственно не измерялось. Была предпринята попытка рассчитать коэффициент поглощения света в *p*-Ge путем решения кинетического уравнения с учетом *e-e*-рассеяния вариационным методом, однако и она не увенчалась успехом [5].

В настоящей работе представлены результаты расчета функции распределения носителей заряда в *p*-Ge. Для учета *e-e*-рассеяния применена итерационная процедура в рамках предложенного ранее двухчастичного метода Монте-Карло [9], позволяющая рассчитать поправки к симметричной части функции распределения в слабогреющем электрическом поле с относительно малыми затратами машинного времени. Рассчитана концентрационная зависимость коэффициента поглощения света с длиной волны 10.6 мкм в *p*-Ge при  $T=80$  К применительно к экспериментам [3, 5].

2. В области слабогреющего электрического поля функция распределения носителей тока обычно представляется в виде разложения по степеням электрического поля

$$f(p, t) = \Phi_0(x) + \frac{E}{E^*} \varphi_1(x, t) \cos \vartheta + \left( \frac{E}{E^*} \right)^2 \Phi_2(x). \quad (1)$$

Здесь введена безразмерная энергия носителя  $x = \epsilon/k_0 T$ ,  $T$  — температура решетки,  $\vartheta$  — угол между постоянным электрическим полем  $E$  и импульсом  $p$ ,  $E^*$  — некоторая константа, имеющая размерность электрического поля и введенная для сохранения одинаковой размерности для всех компонент функций распределения,  $\Phi_0 = N_0 \exp(-x)$  — равновесная функция распределения,  $N_0$  — нормировочный множитель. Предполагается, что зона параболическая и изотропная.

Подставляя разложение (1) в кинетическое уравнение Больцмана, получаем следующую систему уравнений для антисимметричной части функции распределения  $\varphi_1$  и для  $E^2$ -поправки к симметричной части функции распределения  $\Phi_2$  [9]:

$$\frac{\partial}{\partial t} \varphi_1(x, t) - \hat{S}_1(\varphi_1) = - \frac{\sqrt{2} e E^*}{\sqrt{m k_0 T}} x^{1/2} \frac{\partial}{\partial x} \Phi_0, \quad (2)$$

$$\frac{\partial}{\partial t} \Phi_2(x, t) - \hat{S}_0(\Phi_2) = - \frac{\sqrt{2} e E^*}{3 \sqrt{m k_0 T}} x^{-1/2} \frac{\partial}{\partial x} (x \varphi_1). \quad (3)$$

Здесь  $e$ ,  $m$  — заряд и эффективная масса носителя заряда, а символами  $\hat{S}_0$  и  $\hat{S}_1$  обозначены симметричная и антисимметричная части столкновительного члена кинетического уравнения.

Мы сосредоточим основное внимание на функции  $\Phi_2(x)$ , а точнее на функции

$$F(x) = \sqrt{x} \Phi_2(x), \quad (4)$$

определенной полевую поправку к плотности носителей заряда на энергетической оси. Эта функция и характеризует разогрев носителей заряда, а также определяет относительную полевую поправку к коэффициенту поглощения света в слабогреющем электрическом поле:

$$\frac{\Delta \alpha}{\alpha} = \frac{P_0}{e \mu_0 (E^*)^2} \frac{F(x_p)}{x_p^{1/2} e^{-x_p}}, \quad (5)$$

где  $P_0$  — мощность, выделяющаяся в образце в пересчете на один носитель,  $x_p = \epsilon_p/k_0 T$  ( $\epsilon_p$  — кинетическая энергия дырки, участвующей в переходе между зонами тяжелых и легких дырок под воздействием падающего на образец инфракрасного излучения),  $\mu_0$  — омическая подвижность, для расчета которой использовалось выражение

$$\mu_0 = \frac{2 \sqrt{2}}{3 \sqrt{\pi}} \frac{(k_0 T)^{1/2}}{\sqrt{m} E^*} \int_0^\infty \varphi_1(x) x dx. \quad (6)$$

Зависимость коэффициента  $\Delta \alpha/\alpha$  и величины  $\mu_0$  от параметра  $E^*$  лишь формальная, ибо, как видно из (2)–(4), он входит в определение функций  $\varphi_1$  и  $F$ . Значение  $E^*$  фактически определяет лишь масштабы функций распределения.

В случае ковалентного полупроводника, когда учитываются лишь рассеяние носителей ионизованными примесями и деформационное рассеяние на акустических и оптических фононах, оператор  $\hat{S}_1$  имеет простой релаксационный вид и решение уравнения (2) находится аналитически. Поэтому численно приходится решать только уравнение (3) или аналогичное уравнение для функции  $F(x)$ , которое получается прямой подстановкой определения (4) в уравнение (3). Для решения указанного уравнения мы использовали предложенный ранее двухчастичный метод Монте-Карло, который оказался достаточно эффективным для численного решения неоднородных уравнений типа (3), когда не учитывалось  $e-e$ -рассеяние. Метод подробно описан в работе [9]. Суть его заключается в следующем. Согласно вероятностям, входящим в определение  $\hat{S}_0$ , моделируется блуждание частицы по энергетической оси, а правая часть уравнения грахтуется как генерационный член. Для набора статистики по многим процессам генерации частицы приходится считаться с законом сохранения числа частиц, которому удовлетворяет уравнение (3). Эти трудности удается избежать

путем одновременной генерации двух частиц (положительной и отрицательной) и моделирования их блуждания до аннигиляции.

Влияние  $e$ - $e$ -рассеяния мы учли путем включения столкновительного члена в форме интеграла столкновений Ландау [10] в уравнение для симметричной части функции распределения (3). В линеаризованном виде он может быть представлен следующим образом:

$$\hat{S}_0^{(ee)}(\Phi) = \hat{S}_d^{(ee)}(\Phi) + \hat{S}_i^{(ee)}(\Phi), \quad (7)$$

где  $\hat{S}_d^{(ee)}$  и  $\hat{S}_i^{(ee)}$  — дифференциальная и интегральная части оператора, выражения для которых имеют следующий вид:

$$\hat{S}_d^{(ee)}(\Phi) = S_{ee} \frac{1}{\sqrt{x}} \frac{\partial}{\partial x} \left\{ \left[ \frac{\partial \Phi(x)}{\partial x} + \Phi(x) \right] \int_0^x dx' \sqrt{x'} e^{-x'} \right\}, \quad (8)$$

$$\begin{aligned} \hat{S}_i^{(ee)}(\Phi) &= S_{ee} \frac{1}{\sqrt{x}} \frac{\partial}{\partial x} \left\{ e^{-x} \left[ \int_0^x dx' \sqrt{x'} \Phi(x') - \right. \right. \\ &\quad \left. \left. - \frac{2}{3} \left( x^{3/2} \int_x^\infty dx' \Phi(x') + \int_0^x dx' x'^{3/2} \Phi(x') \right) \right] \right\}. \end{aligned} \quad (9)$$

Константа  $S_{ee}$ , характеризующая интенсивность  $e$ - $e$ -взаимодействия, выражается следующим образом:

$$S_{ee} = \frac{n_0 e^4}{2 \sqrt{2} \pi^{3/2} \varepsilon_0^{2/3} m^{1/2} (k_0 T)^{3/2}} \Delta. \quad (10)$$

Здесь  $\Delta$  — кулоновский логарифм,  $n_0$  — концентрация носителей заряда,  $\varepsilon_0$  — диэлектрическая постоянная,  $\varepsilon$  — относительная диэлектрическая проницаемость.

При больших концентрациях носителей заряда необходимо учесть  $e$ - $e$ -рассеяние и в уравнении (2) для антисимметричной части функции распределения. Мы этим пренебрегли, что, строго говоря, может быть обосновано только в области промежуточных концентраций [10].

Учет дифференциальной части оператора  $e$ - $e$ -столкновений прост, ибо из выражения (8) видно, что он по своей форме совпадает со столкновительным оператором деформационного рассеяния на акустических фонах, входящего в определение  $\hat{S}_0$  уравнения (3). С интегральной частью  $e$ - $e$ -оператора дело обстоит сложнее. Выполняя дифференцирование в выражении (9), можно убедиться, что оператор  $\hat{S}_i^{(ee)}$  является интегральным оператором, ядро которого не является положительно определенным. Поэтому это ядро нельзя трактовать, как вероятность перескока частицы между соответствующими точками энергетической оси, и, следовательно, оператор  $\hat{S}_i^{(ee)}$  не может быть учтен моделированием блуждания частицы в процедуре Монте-Карло. С учетом вышеизложенного включение  $e$ - $e$ -рассеяния в двухчастичную процедуру Монте-Карло было осуществлено следующим образом. Дифференциальная часть  $\hat{S}_d^{(ee)}$  была присоединена к оператору  $\hat{S}_0$  и по нему организован процесс блуждания частиц, а интегральная часть  $\hat{S}_i^{(ee)}$  трактовалась, как поправка к генерационному члену правой части уравнения (3), которая учитывалась итерационным способом. В стартовом приближении полагалось, что  $\hat{S}_i^{(ee)} = 0$ . При больших концентрациях носителей заряда в качестве стартового приближения использовалась функция распределения, полученная в приближении доминирующего  $e$ - $e$ -рассеяния.

Расчет проводился на ЭВМ «Эльбрус». Число ячеек на энергетической оси составляло 150, моделировалось 150 000 перескоков частиц на итерацию. В среднем требовалось 7—8 итераций, что обеспечивало погрешность расчета менее 10 %. Такой расчет занимал 3—4 мин машинного времени.

3. Расчеты проводились для полупроводника с параболической изотропной зоной и параметрами, соответствующими зоне тяжелых дырок в  $p$ -Ge. Использованные при расчете параметры: эффективная масса  $0.3m_0$ , константа акусти-

ческого деформационного потенциала 6 эВ, характерная температура оптических фононов 430 К, скорость звука  $5.4 \cdot 10^3$  м/с, плотность  $5.33 \cdot 10^3$  кг/м<sup>3</sup>. Множитель  $E^*$  мы выбрали согласно [9], что в случае *p*-Ge при  $T=80$  К соответствовало  $E^*=1.81 \cdot 10^3$  В/м.

Рассчитанная предлагаемым методом функция распределения теплых дырок при учете акустического и *e-e*-рассеяния показана точками на рис. 1. Концентрация дырок  $p_0=5.3 \cdot 10^{12}$  см<sup>-3</sup>,  $T=80$  К. При учете только этих двух механизмов рассеяния кинетическое уравнение сводится к системе дифференциальных уравнений. Кривая 2 на том же рисунке показывает результат численного решения данной системы методом Рунге—Кутта. Для иллюстрации зависимости функции распределения от относительной интенсивности *e-e*-рассеяния на рис. 1 по-

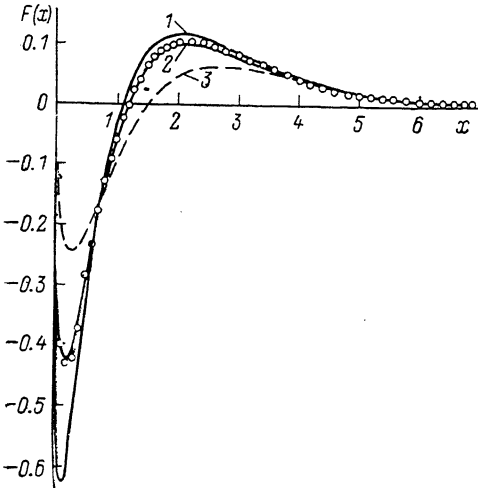


Рис. 1. Функция  $F(x)$  при рассеянии на акустических фононах.

1 — без учета *e-e*-рассеяния, 2 — с учетом *e-e*-рассеяния ( $p_0=5.3 \cdot 10^{12}$  см<sup>-3</sup>), 3 — при доминирующем *e-e*-рассеянии. Точки — расчет двухчастичным методом Монте-Карло.  $E^*=1.81 \cdot 10^3$  В/м,  $T=80$  К.

казаны еще две кривые. Кривая 1 представляет собой аналитическое решение кинетического уравнения, когда имеется лишь рассеяние на акустических фононах, а кривая 3 изображает решение кинетического уравнения при доминирующем *e-e*-рассеянии. Как видно из рисунка, при примерно одинаковой интенсивности *e-e*-рассеяния и рассеяния на акустических фононах двухчастичный метод Монте-Карло дает неплохие результаты.

На рис. 2 представлены рассчитанные предлагаемым методом функции распределения для *p*-Ge при  $T=80$  К с концентрацией ионизованных примесей  $N_I=2 \cdot 10^{15}$  см<sup>-3</sup> без учета (кривая 1) и с учетом рассеяния дырок друг на друге

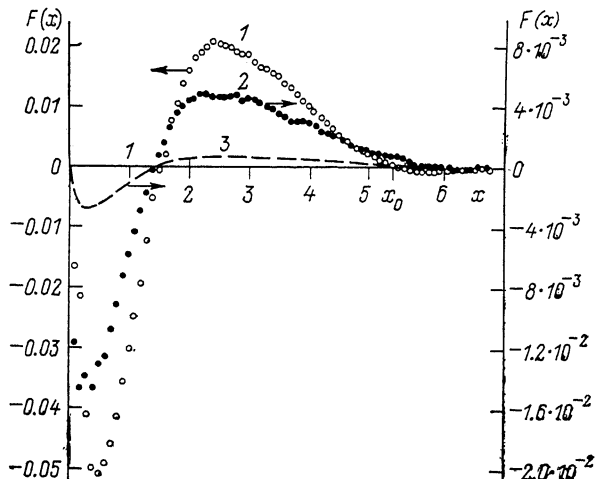


Рис. 2. Функция  $F(x)$  для *p*-Ge при  $T=80$  К и  $N_I=2 \cdot 10^{15}$  см<sup>-3</sup>.

1, 2 — расчет двухчастичным методом Монте-Карло без учета и с учетом *e-e*-рассеяния ( $p_0=N_I$ ) соответственно; 3 — расчет при доминирующем *e-e*-рассеянии.  $E^*=1.81 \cdot 10^3$  В/м,  $D=9 \cdot 10^{10}$  эВ/м.

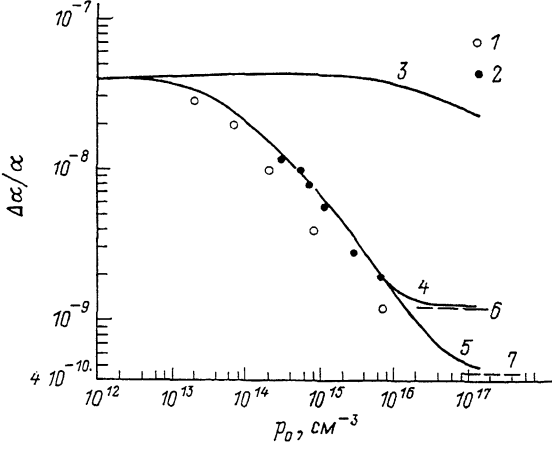
(кривая 2). Предполагалось, что  $p_0=N_I$ . Кривая 3 показывает решение кинетического уравнения при доминирующем *e-e*-рассеянии. На рисунке  $x_0$  обозначает энергию оптического фонона. Константа связи, характеризующая интенсивность взаимодействия с оптическими фононами, принималась  $D=9 \cdot 10^{10}$  эВ/м [11]. Как видно из рисунка, в отсутствие *e-e*-рассеяния в области  $x > x_0$  отчетливо выделяется область энергий, в которой концентрация дырок из-за эмиссии оптических фононов становится ниже равновесной. Из сравнения кривых 2 и 3 видно, что концентрация дырок  $2 \cdot 10^{15}$  см<sup>-3</sup> еще недостаточна для полной максвеллизации функций распределения, однако междырочные столкновения уже существенно изменяют интенсивность испускания оптических

фононов, о чем свидетельствует исчезновение провала на кривой 2 в области  $x > x_0$ .

На рис. 3 точками показаны экспериментальные зависимости [3, 5] относительного изменения коэффициента поглощения инфракрасного излучения с длиной волны  $\lambda=10.6$  мкм в слабогреющем электрическом поле от концентрации дырок при вводимой в образец мощности электрического поля на один носитель 1 эВ/с. Как следует из (5), для расчетов  $\Delta\alpha/\alpha$  необходимо знать функцию распределения теплых дырок при энергии  $\varepsilon_p$ , соответствующей на данной длине волны переходу между зонами тяжелых и легких дырок. Величину  $\varepsilon_p=23.7$  мэВ мы позаимствовали из работы [12]. Функция распределения рассчитывалась двухчастичным методом Монте-Карло (сплошные кривые) и в приближении доминирующего  $e-e$ -рассеяния (штриховые).

Рис. 3. Зависимость относительного изменения коэффициента поглощения  $\Delta\alpha/\alpha$  от концентрации дырок при вводимой в образец мощности 1 эВ/с на один носитель.

Точки — эксперимент, сплошные кривые — расчет методом Монте-Карло без учета (3) и с учетом (4, 5)  $e-e$ -рассеяния, штриховые — расчет при доминирующем  $e-e$ -рассеянии ( $p_0=N_I$ ). Данные работ: 1 — [3], 2 — [5].  $D \cdot 10^{-11}$ , эВ/м: 3, 4, 6 — 0.9; 5, 7 — 1.5.



Из сравнения экспериментальных и расчетных данных, приведенных на рис. 3, видно, что без учета  $e-e$ -рассеяния (кривая 3) описать экспериментальные результаты не удается. Рассчитанные с учетом  $e-e$ -рассеяния кривые 4 и 5 качественно описывают оба экспериментальных результата. В количественном отношении лучшее совпадение достигнуто с результатами работы [5]. При расчете использовались две константы связи с оптическими фононами, соответствующие предельным значениям, встречающимся в литературе [11, 13]. Видно, что в области малых и промежуточных концентраций дырок зависимости, рассчитанные с обеими константами связи, совпадают. Различие появляется при доминирующем  $e-e$ -рассеянии. Видно, что при  $D=1.5 \cdot 10^{11}$  эВ/м [3] концентрация дырок, необходимая для полной максвеллизации функции распределения, почти на порядок выше, чем в случае  $D=9 \cdot 10^{10}$  эВ/м. В указанной области  $p_0$  отсутствуют экспериментальные данные. Однако и при их наличии сделать вывод о величине  $D$  не представляется возможным без учета вклада  $e-e$ -рассеяния в уравнение (2).

Были проведены расчеты и для случая компенсированных образцов. Оказалось, что с ростом компенсации  $\Delta\alpha/\alpha$  незначительно возрастает. Так, при  $N_I=2p_0=4 \cdot 10^{14}$  см<sup>-3</sup>  $\Delta\alpha/\alpha$  увеличивается на 5 %, что не выходит за пределы погрешности расчета.

В заключение отметим, что представленные на последнем рисунке результаты расчетов при двух значениях  $D$  являются красивой иллюстрацией проявления составного механизма рассеяния, предложенного в [1]. В области малых и средних  $p_0$   $e-e$ -взаимодействие является самым медленным этапом составного механизма рассеяния и оно контролирует испускание оптических фононов. Поэтому  $\Delta\alpha/\alpha$  уменьшается с ростом  $p_0$  и не зависит от  $D$ , а в области больших концентраций, наоборот, самым медленным этапом становится оптическое рассеяние. Как следствие этого,  $\Delta\alpha/\alpha$  зависит от  $D$ , но перестает зависеть от  $p_0$ .

#### Л и т е р а т у р а

- [1] Левинсон И. Б., Мажуолите Г. Э. — ЖЭТФ, 1966, т. 50, в. 4, с. 1048—1054.  
[2] Dienys V., Kancleris Z. — Phys. St. Sol. (b), 1975, v. 67, N 4, p. 317—323.  
[3] Болтаев А. П., Пенин Н. А. — ФТП, 1976, т. 10, в. 5, с. 911—917.

- [4] Ашмонтас С. П., Субачюс Л. Е. — ФТП, 1983, т. 17, в. 5, с. 930—936.
- [5] Воробьев Л. Е., Стafeев B. И., Фирсов Д. А. — ФТП, 1983, т. 17, в. 5, с. 796—802.
- [6] Jacoboni C. — In: Proc. XIII Int. Conf. Semicond. (Italy), 1976, p. 1195—1205.
- [7] Brunetti R., Jacoboni C., Matulionis A., Dienys V. — Physica, 1985, v. 134B, p. 369—373.
- [8] Рагутис Р. А., Сельмистрайтис Г. Г. — В кн.: Тез. докл. VI симп. по плазме и неустойчивостям в полупроводниках. Вильнюс, 1986, с. 180—181.
- [9] Kancleris Ž., Matulis A. — J. Phys. C: Sol. St. Phys., 1987, v. 20, N 9, p. 1273—1284.
- [10] Asche M., Sarbei O. G. — Phys. St. Sol., 1969, v. 33, N 1, p. 9—57.
- [11] Takeda K., Sakai K., Taguchi A. et al. — J. Phys. C: Sol. St. Phys., 1983, v. 16, N 5, p. 729—745.
- [12] Васильева М. А., Воробьев Л. Е., Стafeев B. И. — ФТП, 1967, т. 1, в. 1, с. 29—33.
- [13] Пожела Ю., Реклайтис А. — ФТП, 1977, т. 11, в. 4, с. 709—715.

Институт физики полупроводников  
АН ЛитССР  
Вильнюс

Получена 28.06.1987  
Принята к печати 25.11.1987